

# Princípy kvantových počítačov a perspektíva ich využitia

Ján Kollár

15.10.2020

---

Ján Kollár: Princípy kvantových počítačov a perspektíva ich využitia/Principles of Quantum Computers and their Perspectives, KPI FEI TUKE, 2020, 46pp.

2	<b>1 Úvod – porovnanie klasického a kvantového bitu</b>	<b>1</b>
	<b>2 Kvantový bit, kvantový stav a bázy základných kvantových stavov</b>	<b>2</b>
	2.1 Mechanický model kvantového bitu a jeho kvantový stav . . . . .	3
	2.2 Základné stavy štandardnej (výpočtovej) bázy $\{ 0\rangle,  1\rangle\}$	4
	2.3 Definícia všeobecného kvantového stavu $ \psi\rangle$ jedného bitu vo vektorovom a Diracovom tvare . . . . .	5
	2.4 Vyjadrenie všeobecného kvantového stavu $ \psi\rangle$ v polárnom tvare . . . . .	6
	2.5 Odvodenie fáz základných stavov $ 0\rangle$ a $ 1\rangle$ . . . . .	7
	2.6 Základné stavy štandardnej bázy $\{ 0\rangle,  1\rangle\}$ – vektorový, Diracov a polárny tvar . . . . .	8
	2.7 Základné stavy bázy $\{ +\rangle,  -\rangle\}$ a bázy $\{ \odot\rangle,  \oslash\rangle\}$ .	9
	2.8 Zobrazenie stavov báz $\{ +\rangle,  -\rangle\}$ a $\{ \odot\rangle,  \oslash\rangle\}$ z pohľadu merania (z protismeru osi Z) . . . . .	10
	2.9 Zobrazenie stavov bázy $\{ +\rangle,  -\rangle\}$ z protismeru osi Y a bázy $\{ \odot\rangle,  \oslash\rangle\}$ z protismeru osi X . . . . .	11
	<b>3 Zobrazenie kvantových stavov v priestore</b>	<b>12</b>
	3.1 Skutočné zobrazenie stavov v priestore . . . . .	13

3	3.2 Zobrazenie stavov na Blochovej guli . . . . .	14
<b>4</b>	<b>Superpozícia a meranie kvantového stavu</b>	<b>15</b>
4.1	Princíp superpozície . . . . .	16
4.2	Fyzikálny význam superpozície a pravdepodobnostná podstata kvantových stavov . . . . .	17
4.3	Princíp merania kvantového stavu . . . . .	18
4.4	Odvodenie pravdepodobností od počtu výstrelov . .	19
4.5	Meranie kvantového stavu – príklady . . . . .	20
<b>5</b>	<b>Zmena kvantového stavu, kvantové hradlá a ich operácie</b>	<b>21</b>
5.1	Zmena kvantového stavu . . . . .	22
5.2	Kvantové operácie . . . . .	23
5.3	Príklady kvantových obvodov . . . . .	24
<b>6</b>	<b>Kvantový systém viacerých nepreviazaných kvantových bitov</b>	<b>25</b>
6.1	Celkový kvantový stav $n$ nepreviazaných bitov . . .	26
6.2	Pravdepodobnosť meraných hodnôt celkového stavu nepreviazaných bitov . . . . .	27
6.3	Zmena celkového kvantového stavu viacerých nepreviazaných bitov . . . . .	28

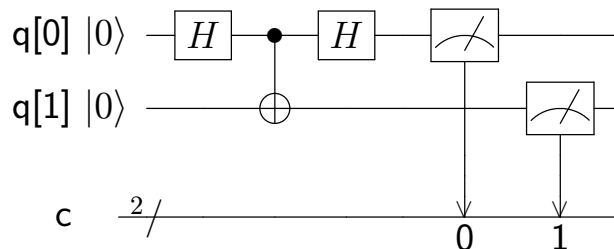
4	<b>7 Kvantový systém previazaných kvantových bitov</b>	<b>29</b>
	7.1 Previazanosť (entanglement) kvantových bitov . . .	30
	7.2 Dôsledky previazanosti . . . . .	31
	7.3 Podmienená operácia $C^mU$ a jej prípad $CX$ . . . .	32
	7.4 Dvojica EPR . . . . .	33
	<b>8 Záver</b>	<b>34</b>
	<b>Literatúra</b>	<b>35</b>

# 1 1. Úvod – porovnanie klasického a kvantového bitu

**Klasický bit** Fyzikálnou podstatou je elektrický signál – napätie. Stav klasického bitu je hodnotou napätia, preto klasický bit môže byť len v dvoch stavoch: 0 (pri  $U = 0V$ ) a 1 (pri  $U = 5V$ ).

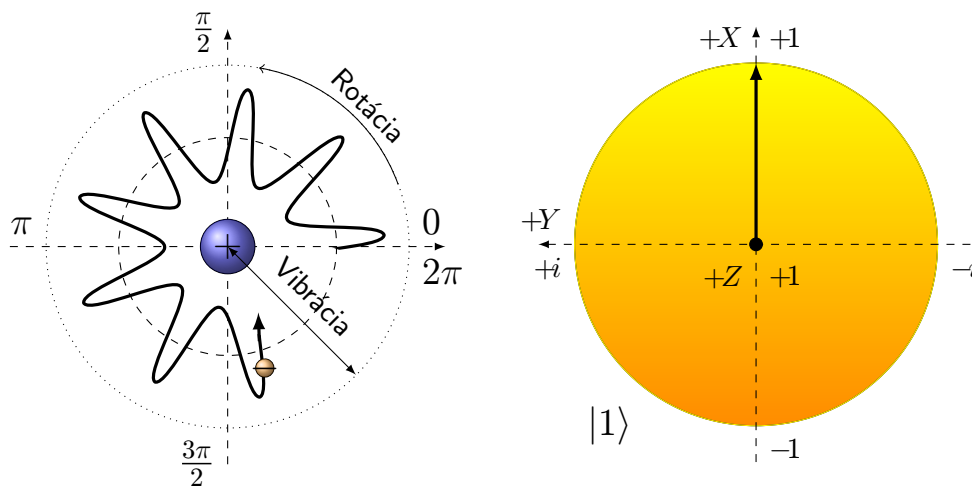
**Kvantový bit** Fyzikálnou podstatou je pohyb elementárnej častice. Stav kvantového bitu (kvantový stav) je hodnotou dvojzložkového vektora v dvojrozmernom Hilbertovom priestore  $\mathbb{C}^2$ , preto kvantový bit môže byť v stave patriacom do nekonečnej množiny stavov.

Stav bitu je teda hodnotou bitu.



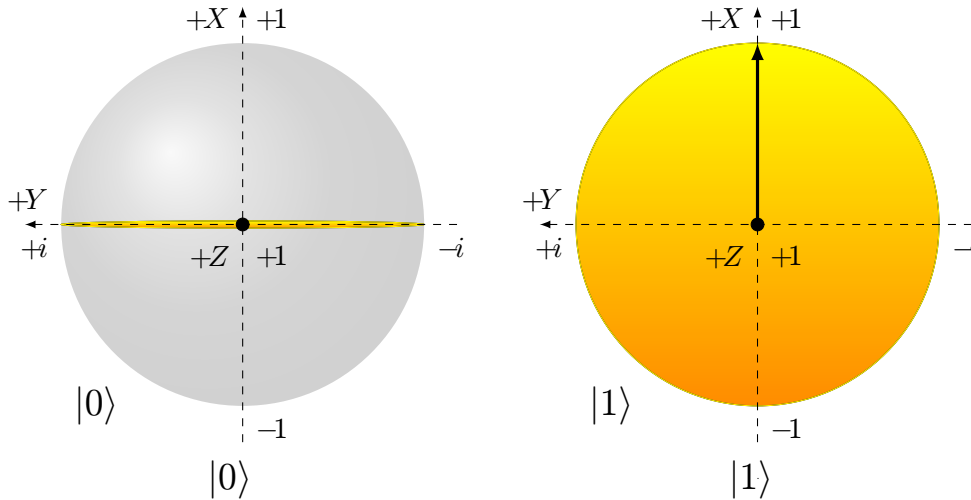
## 2. Kvantový bit, kvantový stav a bázy základních kvantových stavov

### 3 2.1. Mechanický model kvantového bitu a jeho kvantový stav



- Kvantový bit je zobrazený v stave  $|1\rangle$  z pohľadu merania (os Z smeruje na meracie zariadenie) a je umiestnený v jednotkovej guli.
- XY je rovina  $\mathbb{C}$  a ZX je rovina  $\mathbb{R}$ .
- Prechodom kvantového bitu cez kvantové hradlo (bránu, gate) dochádza k otočeniu kvantového bitu okolo osi X, Y a Z a teda k zmene jeho stavu.

## 2.2. Základné stavy štandardnej (výpočtovej) bázy $\{|0\rangle, |1\rangle\}$



- $|0\rangle = \begin{pmatrix} 1 \\ 0 \end{pmatrix}$  je kvantový stav s minimálnou energiou (0.0).
- $|1\rangle = \begin{pmatrix} 0 \\ 1 \end{pmatrix}$  je kvantový stav s maximálnou energiou (1.0).
- Kvantový stav  $|0\rangle$  je vždy začiatočným stavom každého kvantového obvodu.



## 5 2.3. Definícia všeobecného kvantového stavu $|\psi\rangle$ jedného bitu vo vektorovom a Diracovom tvare

**Definícia:** Všeobecný kvantový stav  $|\psi\rangle$  kvantového bitu patrí do dvojrozmerného Hilbertovho priestoru  $\mathbb{C}^2$  a je teda dvojzložkovým vektorom komplexných čísel  $\alpha$  a  $\beta$ , teda

$$|\psi\rangle = \begin{pmatrix} \alpha \\ \beta \end{pmatrix} = \alpha |0\rangle + \beta |1\rangle, \quad |\alpha|^2 + |\beta|^2 = 1$$

kde  $|\alpha|$  a  $|\beta|$  sú normy (veľkosti, magnitúdy, amplitúdy) komplexných zložiek  $\alpha$  a  $\beta$ .

Vlastnosti kvantového stavu  $|\psi\rangle$ :

1. Norma  $\| |\psi\rangle \|$  každého kvantového stavu je 1, pretože platí:  
 $\| |\psi\rangle \| = \sqrt{|\alpha|^2 + |\beta|^2} = 1.$
2.  $|\alpha|^2$  je pravdepodobnosť, že  $|\psi\rangle = |0\rangle$ , a teda bude nameraný do klasického bitu s hodnotou  $c = 0$  a
3.  $|\beta|^2$  je pravdepodobnosť, že  $|\psi\rangle = |1\rangle$ , a teda bude nameraný do klasického bitu s hodnotou  $c = 1$ .

## 6 2.4. Vyjadrenie všeobecného kvantového stavu $|\psi\rangle$ v polárnom tvare

$$|\psi\rangle = \begin{pmatrix} \alpha \\ \beta \end{pmatrix} = e^{i\lambda} \begin{pmatrix} \cos(\theta/2) \\ e^{i\varphi} \sin(\theta/2) \end{pmatrix}$$

Kvantový stav v polárnom tvare je určený hodnotami fáz  $\theta$ ,  $\varphi$  a  $\lambda$ .

- $\theta/2$  – *otočenie vektora stavu v rovine reálnych čísel*  $\mathbb{R}$ ,  $\theta \in [-\pi, \pi]$ .
- $\varphi$  – *lokálna fáza*, t.j. relatívne otočenie zložky  $\beta$  oproti zložke  $\alpha$  vektora stavu do roviny komplexných čísel  $\mathbb{C}$ ,  $\varphi \in [0, 2\pi]$ .
- $\lambda$  – *globálna fáza*, t.j. otočenie zložky  $\beta$  aj  $\alpha$  do roviny komplexných čísel  $\mathbb{C}$ ,  $\lambda \in [0, 2\pi]$ .

Platí aj

1.  $\varphi = \varphi_\beta - \varphi_\alpha$ , kde  $\varphi_\beta$  je otočenie  $\beta$  do roviny  $\mathbb{C}$  a  $\varphi_\alpha$  je otočenie  $\alpha$  do roviny  $\mathbb{C}$ .
2.  $\lambda = \varphi_\alpha$
3. Globálna fáza vyjadruje relatívne otočenie vektorov viacerých kvantových stavov vo viacbitovom kvantovom obvode, preto nemá význam v prípade jednobitového obvodu, čo vedie k zjednodušeniu  $\lambda = 0$ ,  $\varphi_\alpha = 0$  a  $\varphi = \varphi_\beta$ .

## 2.5. Odvodenie fáz základných stavov $|0\rangle$ a $|1\rangle$

$$|\psi\rangle = |0\rangle = \begin{pmatrix} 1 \\ 0 \end{pmatrix} = e^{i0} \begin{pmatrix} \cos(0) \\ e^{i0} \sin(0) \end{pmatrix} = e^{i\lambda} \begin{pmatrix} \cos(\theta/2) \\ e^{i\varphi} \sin(\theta/2) \end{pmatrix}$$

Fázy  $|0\rangle$  sú teda  $\theta = 0$  (lebo  $\theta/2 = 0$ ), a  $\lambda = \varphi = 0$ .

$$|\psi\rangle = |1\rangle = \begin{pmatrix} 0 \\ 1 \end{pmatrix} = e^{i0} \begin{pmatrix} \cos(\pi/2) \\ e^{i0} \sin(\pi/2) \end{pmatrix} = e^{i\lambda} \begin{pmatrix} \cos(\theta/2) \\ e^{i\varphi} \sin(\theta/2) \end{pmatrix}$$

Fázy  $|1\rangle$  sú teda  $\theta = \pi$  (lebo  $\theta/2 = \pi/2$ ), a  $\lambda = \varphi = 0$ .

Vektory oboch základných stavov štandardnej bázy  $\{|0\rangle, |1\rangle\}$  ležia teda v reálnej rovine a sú ortonormálne, pretože sú ortogonálne (navzájom kolmé) a zároveň normalizované (majú jednotkovú veľkosť).

## 2.6. Základné stavy štandardnej bázy $\{|0\rangle, |1\rangle\}$ – vektorový, Diracov a polárny tvar

$$|0\rangle = \begin{pmatrix} 1 \\ 0 \end{pmatrix} = 1|0\rangle + 0|1\rangle = e^{i0} \begin{pmatrix} \cos(0) \\ e^{i0} \sin(0) \end{pmatrix}$$

$$|1\rangle = \begin{pmatrix} 0 \\ 1 \end{pmatrix} = 0|0\rangle + 1|1\rangle = e^{i0} \begin{pmatrix} \cos(\pi/2) \\ e^{i0} \sin(\pi/2) \end{pmatrix}$$

## 2.7. Základné stavy bázy $\{|+\rangle, |-\rangle\}$ a bázy $\{|\odot\rangle, |\oslash\rangle\}$

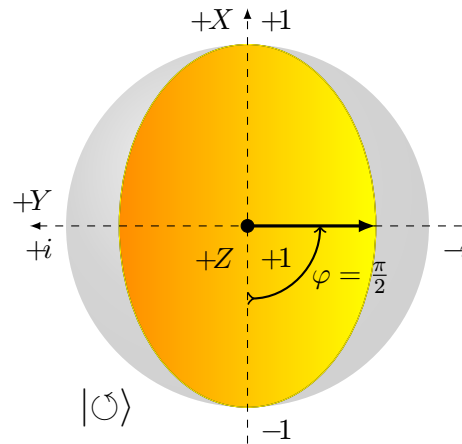
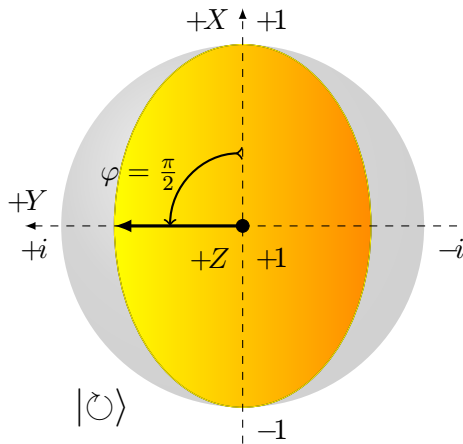
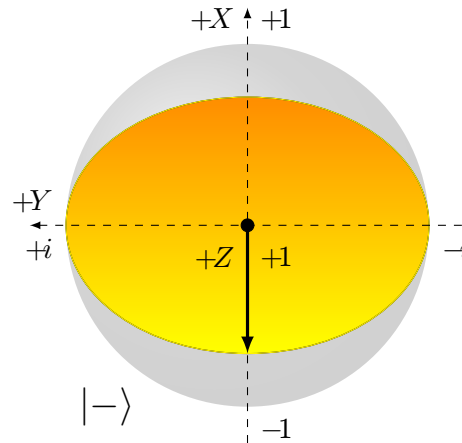
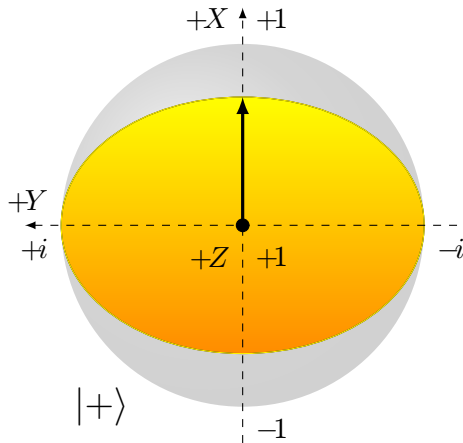
$$|+\rangle = \begin{pmatrix} \frac{1}{\sqrt{2}} \\ \frac{1}{\sqrt{2}} \end{pmatrix} = \frac{1}{\sqrt{2}} |0\rangle + \frac{1}{\sqrt{2}} |1\rangle = e^{i0} \begin{pmatrix} \cos(\pi/4) \\ e^{i0} \sin(\pi/4) \end{pmatrix} \Rightarrow \theta/2 = \pi/4$$

$$|-\rangle = \begin{pmatrix} \frac{1}{\sqrt{2}} \\ -\frac{1}{\sqrt{2}} \end{pmatrix} = \frac{1}{\sqrt{2}} |0\rangle - \frac{1}{\sqrt{2}} |1\rangle = e^{i0} \begin{pmatrix} \cos(-\pi/4) \\ e^{i0} \sin(-\pi/4) \end{pmatrix} \Rightarrow \theta/2 = -\pi/4$$

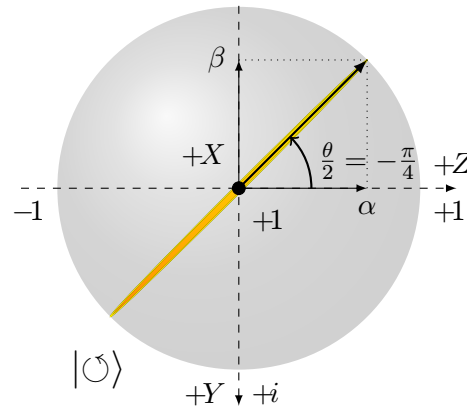
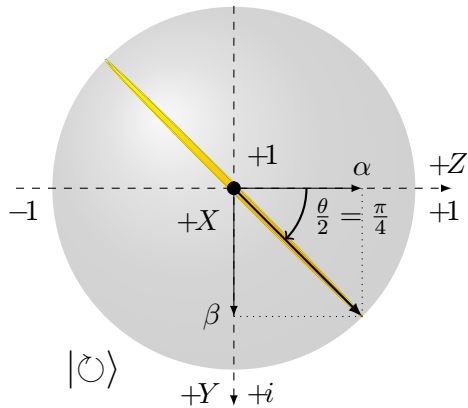
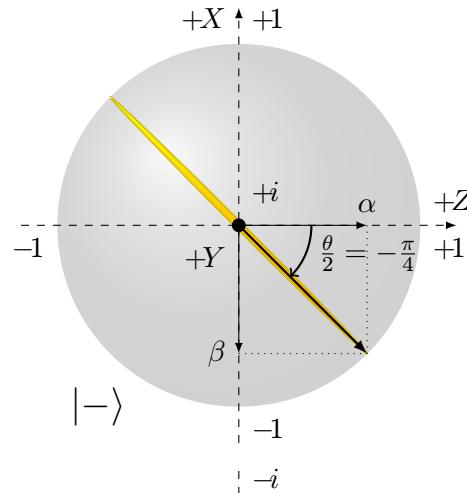
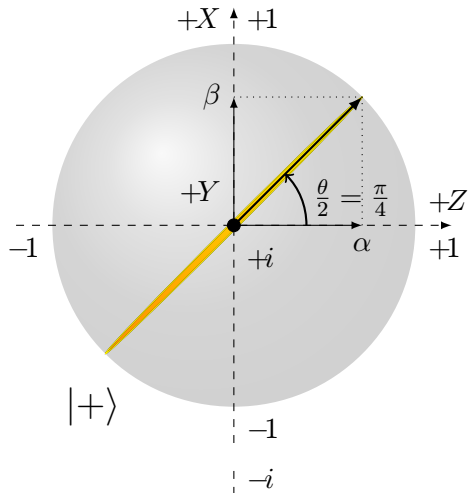
$$|\odot\rangle = \begin{pmatrix} \frac{1}{\sqrt{2}} \\ \frac{i}{\sqrt{2}} \end{pmatrix} = \frac{1}{\sqrt{2}} |0\rangle + \frac{i}{\sqrt{2}} |1\rangle = e^{i0} \begin{pmatrix} \cos(\pi/4) \\ e^{i\pi/2} \sin(\pi/4) \end{pmatrix} \Rightarrow \theta/2 = \pi/4, \varphi = \pi/2$$

$$|\oslash\rangle = \begin{pmatrix} \frac{1}{\sqrt{2}} \\ -\frac{i}{\sqrt{2}} \end{pmatrix} = \frac{1}{\sqrt{2}} |0\rangle - \frac{i}{\sqrt{2}} |1\rangle = e^{i0} \begin{pmatrix} \cos(-\pi/4) \\ e^{i\pi/2} \sin(-\pi/4) \end{pmatrix} \Rightarrow \theta/2 = -\pi/4, \varphi = \pi/2$$

## 2.8. Zobrazenie stavov báz $\{|+\rangle, |-\rangle\}$ a $\{|\circ\rangle, |\oslash\rangle\}$ z pohľadu merania (z protismeru osi Z)



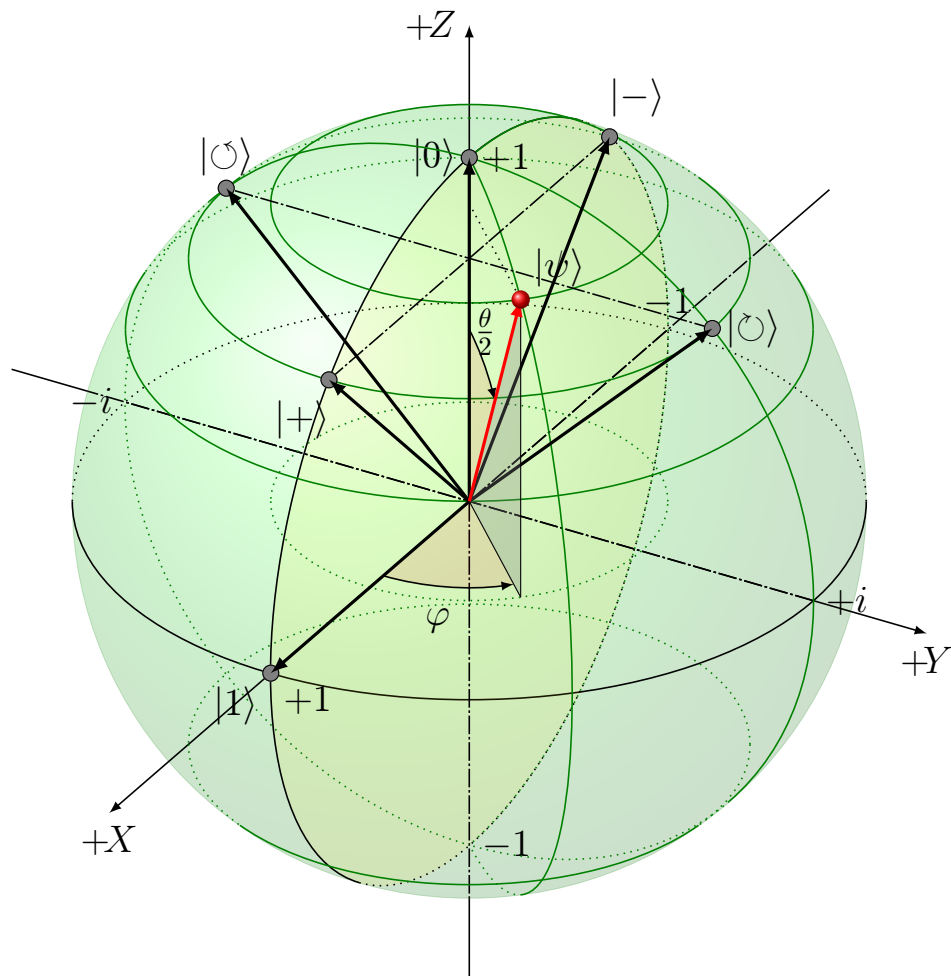
11 2.9. Zobrazenie stavov bázy  $\{|+\rangle, |-\rangle\}$  z protismeru osi Y a bázy  $\{|\circ\rangle, |\ominus\rangle\}$  z protismeru osi X



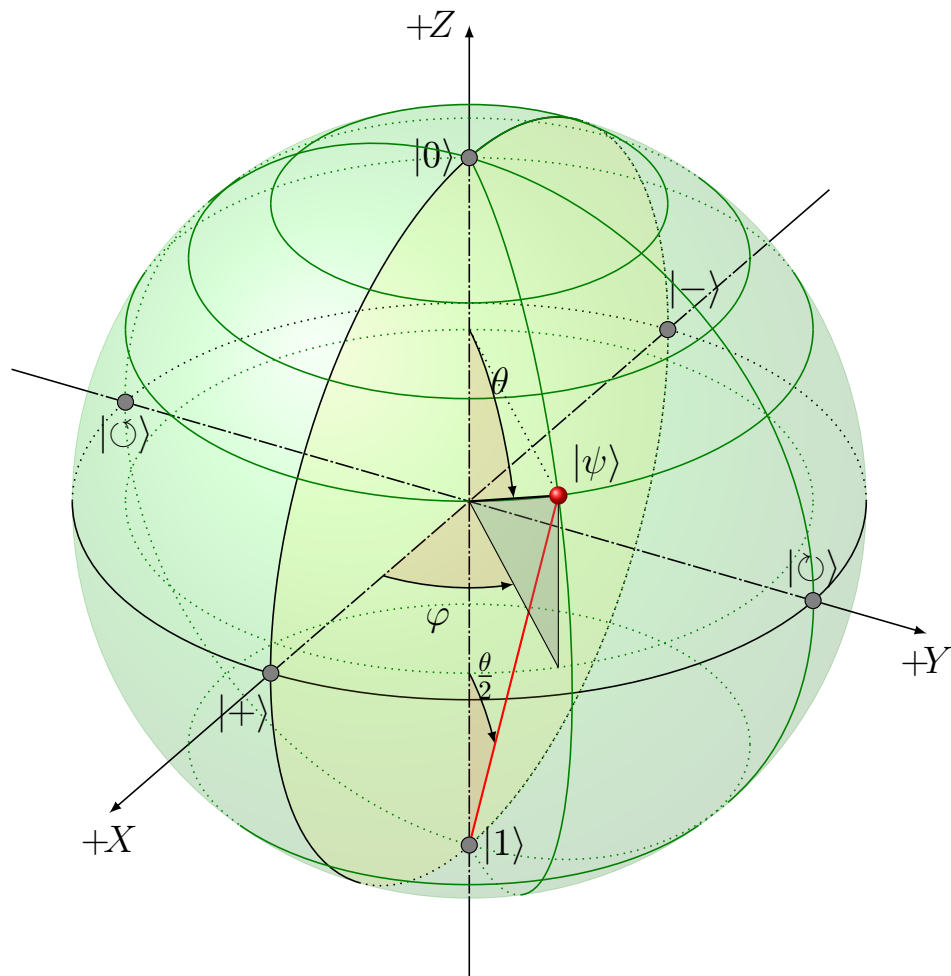
### 3. Zobrazenie kvantových stavov v priestore



## 3.1. Skutočné zobrazenie stavov v priestore



## 3.2. Zobrazenie stavov na Blochovej guli



## 4. Superpozícia a meranie kvantového stavu

## 4.1. Princíp superpozície

Každý všeobecný kvantový stav jedného bitu  $|\psi\rangle$

$$|\psi\rangle = \begin{pmatrix} \alpha \\ \beta \end{pmatrix}$$

možno vyjadriť superpozíciou (t.j. lineárnou kombináciou) základných stavov v Diracovom tvare podľa vzťahu

$$|\psi\rangle = \alpha |0\rangle + \beta |1\rangle, \quad |\alpha|^2 + |\beta|^2 = 1, \quad \alpha, \beta \in \mathbb{C}, \quad |\psi\rangle \in \mathbb{C}^2$$

kde  $|\alpha|$ ,  $|\beta|$  sú veľkosti komplexných zložiek  $\alpha$ ,  $\beta$  stavu  $|\psi\rangle$ .

## 4.2. Fyzikálny význam superpozície a pravdepodobnostná podstata kvantových stavov

Fyzikálnym významom superpozície je to, že kvantový stav  $|\psi\rangle$  existuje súčasne v dvoch základných stavoch, pričom  $|\alpha|^2$  je pravdepodobnosť, s akou bude stav  $|\psi\rangle$  nameraný do klasického jednobitového registra  $c$  ako hodnota 0 a  $|\beta|^2$  je pravdepodobnosť, s akou bude stav  $|\psi\rangle$  nameraný do registra  $c$  ako hodnota 1.

Kľúčom k pochopeniu pravdepodobnostnej podstaty kvantových stavov danej fyzikálnym významom superpozície je príklad merania stavu  $|+\rangle$  pri jednej strele prúdu fotónov na kvantový bit.

### 4.3. Princíp merania kvantového stavu

- Ostreľovanie kvantového bitu prúdom fotónov v dávke, zvyčajne 1000-10000 striel (angl. shots) – podobné osvetľovaniu predmetu v tme.
- Meranie odrazenej energie  $\mathcal{E}$  – energie lúča dopadajúceho na plochu meracieho zariadenia – hradla merania.
- Meraním kvantový bit je zničený (alebo kolabuje do základného stavu  $|0\rangle$ ).
- Meraná energia  $\mathcal{E} = |\beta|^2$  je pravdepodobnosťou, s ktorou bude do klasického registra zapísaná hodnota 1.
- Meraná hodnota do klasického registra  $c$  je vždy buď 0 alebo 1:

$$c = \begin{cases} 0 & / \quad |\alpha|^2 \\ 1 & / \quad |\beta|^2 \end{cases}$$

#### 4.4. Odvodenie pravdepodobností od počtu výstrelů

V prípade jediného výstrelu prúdu fotónů na kvantový bit v stave  $|+\rangle$  dostaneme zaujímavý výsledok, a to:

$$\text{buď } (0) : c = \begin{cases} 0/1.0 \\ 1/0.0 \end{cases} \text{ alebo } (1) : c = \begin{cases} 0/0.0 \\ 1/1.0 \end{cases} .$$

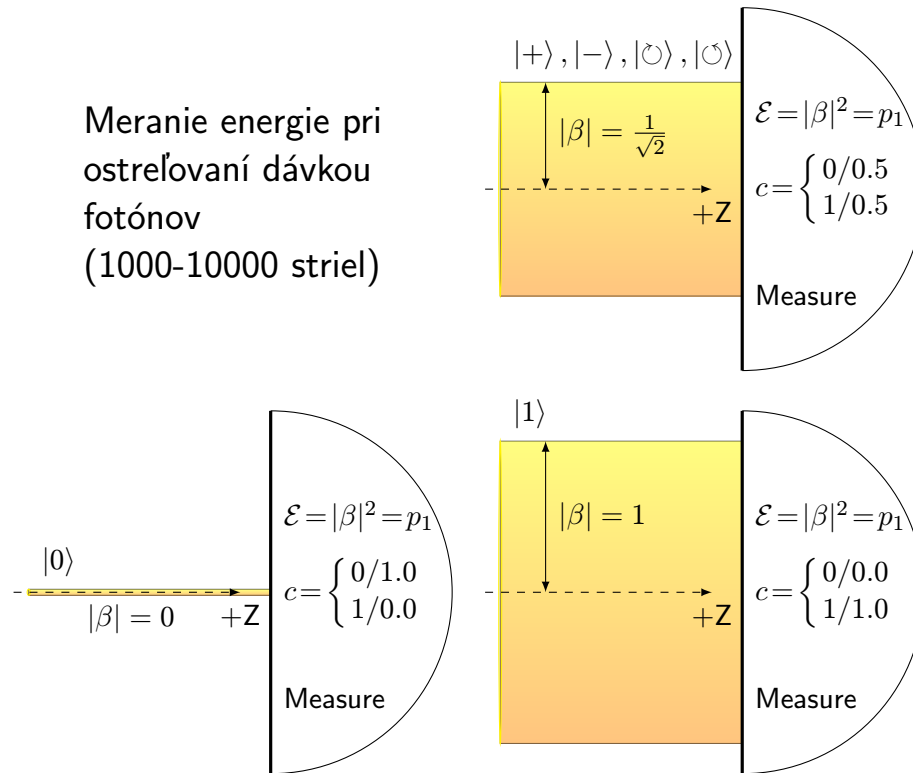
Na základe jedného výstrelu s istotou (teda pravdepodobnosťou 1.0) bude  $|+\rangle$  nameraný ako bit 0 (prípád (0)), alebo ako bit 1 (prípád (1)).

Čím viac výstrelů však použijeme, tým presnejšie zistíme pravdepodobnosti, s akými je  $|+\rangle$  nameraný ako klasická hodnota 0 a 1, formálne

$$c = \begin{cases} 0 / \frac{n_0}{(n_0+n_1)} \\ 1 / \frac{n_1}{(n_0+n_1)} \end{cases}$$

kde  $n_0$  je počet výstrelů s výsledkom (0),  $n_1$  je počet výstrelů s výsledkom (1), a  $(n_0 + n_1)$  je celkový počet výstrelů, zvyčajne 1000 až 10000.

## 4.5. Meranie kvantového stavu – príklady



Meraním je kvantový bit zničený.



## 5. Zmena kvantového stavu, kvantové hradlá a ich operácie

## 5.1. Zmena kvantového stavu

Prechodom kvantového bitu cez kvantové hradlo (bránu, gate) dôjde k skokovej zmene kvantového vstupného kvantového stavu  $|\psi\rangle$  na výstupný stav  $|\psi'\rangle$ . Kvantové hradlo realizuje kvantovú operáciu  $U$  – rotáciu vstupného stavu do výstupného stavu, ktorá z matematického hľadiska je maticou  $2 \times 2$  v tvare

$$U = \begin{pmatrix} u_{11} & u_{12} \\ u_{21} & u_{22} \end{pmatrix}, \quad u_{ij} \in \mathbb{C}$$

Kvantová operácia musí byť nielen unitárna (zachovávajúca  $\| |\psi'\rangle \| = 1$ ), ale aj reverzibilná, t.j. musí k nej existovať matica  $U^\dagger$

$$U^\dagger = \begin{pmatrix} \bar{u}_{11} & \bar{u}_{21} \\ \bar{u}_{12} & \bar{u}_{22} \end{pmatrix}$$

taká, že platí:

$$U U^\dagger = U^\dagger U = I, \quad \text{kde } I = \begin{pmatrix} 1 & 0 \\ 0 & 1 \end{pmatrix}$$

Potom prechod zo vstupného do výstupného stavu je definovaný maticovým násobením kvantovej operácie a vektora vstupného stavu (a naopak)

$$|\psi\rangle \mapsto |\psi'\rangle : |\psi'\rangle = U |\psi\rangle \quad \text{a} \quad |\psi'\rangle \mapsto |\psi\rangle : |\psi\rangle = U^\dagger |\psi'\rangle$$

## 5.2. Kvantové operácie

Všeobecná kvantová operácia  $U = U_3$  je daná hodnotami fáz  $\theta, \varphi, \lambda$

$$U_3 \theta \varphi \lambda = \begin{pmatrix} \cos(\theta/2) & -e^{i\lambda} \sin(\theta/2) \\ e^{i\varphi} \sin(\theta/2) & e^{i\lambda+i\varphi} \cos(\theta/2) \end{pmatrix}$$

Operácie štandardných hradiel sú odvodené z  $(U_3 \theta \varphi \lambda)$ , napr.

$$I = \begin{pmatrix} 1 & 0 \\ 0 & 1 \end{pmatrix} \quad X = \begin{pmatrix} 0 & 1 \\ 1 & 0 \end{pmatrix} \quad H = \frac{1}{\sqrt{2}} \begin{pmatrix} 1 & 1 \\ 1 & -1 \end{pmatrix}$$

$$S = \begin{pmatrix} 1 & 0 \\ 0 & i \end{pmatrix} \quad S^\dagger = \begin{pmatrix} 1 & 0 \\ 0 & -i \end{pmatrix}$$

### 5.3. Príklady kvantových obvodov

Pretože platí:

$$|1\rangle = X |0\rangle$$

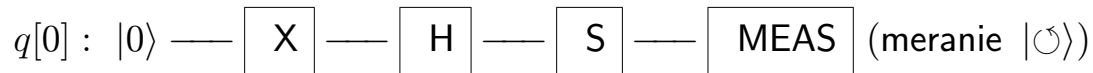
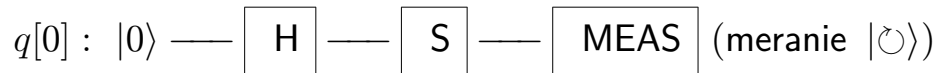
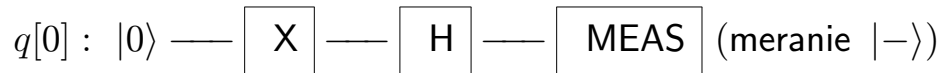
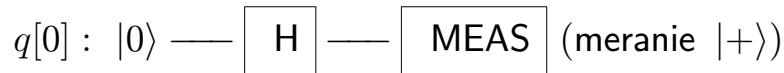
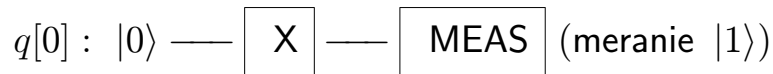
$$|+\rangle = H |0\rangle$$

$$|-\rangle = H |1\rangle$$

$$|\odot\rangle = S |+\rangle$$

$$|\oslash\rangle = S |-\rangle$$

možno vytvoriť napr. kvantové obvody



## 6. Kvantový systém viacerých nepreviazaných kvantových bitov

## 6.1. Celkový kvantový stav $n$ nepreviazaných bitov

Napr. pre  $n=3$ , ak stav kvantového bitu  $q[0]$  je  $|\psi_0\rangle$ , kv. bitu  $q[1]$  je  $|\psi_1\rangle$  a kv. bitu  $q[2]$  je  $|\psi_2\rangle$ , a tieto bity navzájom nekorelujú (sú nepreviazané), potom celkový stav  $|\psi\rangle$  je tenzorovým súčinom stavov  $|\psi_0\rangle$ ,  $|\psi_1\rangle$ ,  $|\psi_2\rangle$ :

$$\begin{aligned}
 |\psi\rangle &= |\psi_0\psi_1\psi_2\rangle = |\psi_0\rangle \otimes |\psi_1\rangle \otimes |\psi_2\rangle = \begin{pmatrix} \alpha_0 \\ \beta_0 \end{pmatrix} \otimes \begin{pmatrix} \alpha_1 \\ \beta_1 \end{pmatrix} \otimes \begin{pmatrix} \alpha_2 \\ \beta_2 \end{pmatrix} = \\
 &\left( \begin{array}{c} \alpha_0 \begin{pmatrix} \alpha_1 \begin{pmatrix} \alpha_2 \\ \beta_2 \end{pmatrix} \\ \beta_1 \begin{pmatrix} \alpha_2 \\ \beta_2 \end{pmatrix} \end{pmatrix} \\ \beta_0 \begin{pmatrix} \alpha_1 \begin{pmatrix} \alpha_2 \\ \beta_2 \end{pmatrix} \\ \beta_1 \begin{pmatrix} \alpha_2 \\ \beta_2 \end{pmatrix} \end{pmatrix} \end{array} \right) \Rightarrow \begin{pmatrix} \alpha_0 \alpha_1 \alpha_2 \\ \alpha_0 \alpha_1 \beta_2 \\ \alpha_0 \beta_1 \alpha_2 \\ \alpha_0 \beta_1 \beta_2 \\ \beta_0 \alpha_1 \alpha_2 \\ \beta_0 \alpha_1 \beta_2 \\ \beta_0 \beta_1 \alpha_2 \\ \beta_0 \beta_1 \beta_2 \end{pmatrix} = \begin{pmatrix} \alpha_{000} \\ \alpha_{001} \\ \alpha_{010} \\ \alpha_{011} \\ \alpha_{100} \\ \alpha_{101} \\ \alpha_{110} \\ \alpha_{111} \end{pmatrix} = \begin{pmatrix} \alpha_0 \\ \alpha_1 \\ \alpha_2 \\ \alpha_3 \\ \alpha_4 \\ \alpha_5 \\ \alpha_6 \\ \alpha_7 \end{pmatrix}
 \end{aligned}$$

Celkový kvantový stav  $n$  bitov je  $2^n$  zložkovým vektorom, patrí teda do  $2^n$  rozmerného Hilbertovho priestoru  $\mathbb{C}^{2^n}$ .

Veľkosť vektora celkového stavu je 1 ( $\| |\psi\rangle \| = 1$ )!

## 6.2. Pravdepodobnosť meraných hodnôt celkového stavu nepreviazaných bitov

Pre  $n = 3$  klasický 3 bitový register  $c = c[2]c[1]c[0]$  nadobúda hodnoty indexov zložiek  $\alpha_k$  vyjadrených v binárnom tvare, avšak v zrkadlovom usporiadaní bitov :

$$c[0]c[1]c[2] = \begin{cases} 000 / |\alpha_0|^2 |\alpha_1|^2 |\alpha_2|^2 \\ 001 / |\alpha_0|^2 |\alpha_1|^2 |\beta_2|^2 \\ 010 / |\alpha_0|^2 |\beta_1|^2 |\alpha_2|^2 \\ 011 / |\alpha_0|^2 |\beta_1|^2 |\beta_2|^2 \\ 100 / |\beta_0|^2 |\alpha_1|^2 |\alpha_2|^2 \\ 101 / |\beta_0|^2 |\alpha_1|^2 |\beta_2|^2 \\ 110 / |\beta_0|^2 |\beta_1|^2 |\alpha_2|^2 \\ 111 / |\beta_0|^2 |\beta_1|^2 |\beta_2|^2 \end{cases}$$

Napr. pri meraní 3 kvantových bitov  $q[0] \mapsto c[0]$ ,  $q[1] \mapsto c[1]$  a  $q[2] \mapsto c[2]$ , meraná hodnota v  $c$  bude mať hodnotu 001 s pravdepodobnosťou  $|\beta_0|^2 |\alpha_1|^2 |\alpha_2|^2$ .

Súčet pravdepodobností všetkých meraných hodnôt do klasického registra je rovný 1.

Pravdepodobnosť, že všetky klasické bity budú mať hodnotu 1 ( $c = 111$ ) je  $|\beta_0|^2 |\beta_1|^2 |\beta_2|^2$ !

### 6.3. Zmena celkového kvantového stavu viacerých nepreviazaných bitov

Ak vstupné stavy vzájomne nekorelujúcich bitov  $q[0]$ ,  $q[1]$ ,  $q[2]$  sú  $|\psi_0\rangle$ ,  $|\psi_1\rangle$ ,  $|\psi_2\rangle$  a ich výstupné stavy sú  $|\psi'_0\rangle = U_0 |\psi_0\rangle$ ,  $|\psi'_1\rangle = U_1 |\psi_1\rangle$ ,  $|\psi'_2\rangle = U_2 |\psi_2\rangle$ , potom celkový výstupný kvantový stav  $|\psi'\rangle$  je daný tenzorovým súčynom

$$|\psi'\rangle = |\psi'_0\rangle \otimes |\psi'_1\rangle \otimes |\psi'_2\rangle = (U_0 |\psi_0\rangle) \otimes (U_1 |\psi_1\rangle) \otimes (U_2 |\psi_2\rangle)$$

Možno ho však vypočítať aj maticovým násobením tenzorového súčinu operácii príslušných hradiel a celkového vstupného stavu, teda podľa vzťahu

$$|\psi'\rangle = (U_0 \otimes U_1 \otimes U_2) |\psi\rangle$$

ktorým bude celkový vstupný stav  $|\psi\rangle$  zmenený na celkový výstupný stav  $|\psi'\rangle$ .

Pozn: V prípade previazaných kvantových bitov však nie je možné dosiahnuť celkový výstupný stav tenzorovým súčynom hradiel!



## 7. Kvantový systém previazaných kvantových bitov

## 7.1. Previazanosť (entanglement) kvantových bitov

**Fyzikálna podstata:** Kvantové stavy previazaných kvantových bitov sa ovplyvňujú – dochádza ku korelácii ich stavov (bez ohľadu na ich polohu a vzdialenosť v priestore).

**Praktická realizácia:** V systéme  $n$  kvantových bitov ( $n \geq 2$ ) možno vybrať ľubovoľný (ale iba jeden) cieľový kvantový bit a definovať operáciu zmeny jeho stavu  $U$ . Ďalej možno vybrať zo zvyšných  $n-1$  bitov ľubovoľnú podmnožinu  $\{q[k_1], q[k_2], \dots, q[k_m]\}$ ,  $m$  zdrojových kvantových bitov ( $1 \leq m \leq n-1$ ).

Pozn: Výber zdrojových kvantových bitov môže byť obmedzený v reálnych kvantových systémoch štruktúrou grafu kvantových bitov.

## 7.2. Dôsledky previazanosti

1. Celkový výstupný stav  $(m + 1)$  bitov ( $m$  výstupných stavov zdrojových bitov a výstupného stavu cieľového bitu) je maticovým súčinom hradla  $C^m U$  a celkového vstupného stavu  $(m + 1)$  bitov ( $m$  vstupných stavov zdrojových bitov a vstupného stavu cieľového bitu).
2. Hradlo  $C^m U$  je teda maticou rozmeru  $2^{(m+1)} \times 2^{(m+1)}$  a účinkuje na celkový stav  $(m + 1)$  bitov.
3. Výstupné bity sú už previazané, takže meraním (a zničením) jedného z nich vieme posúdiť stavy iných previazaných kvantových bitov.
4. Previazanosť rieši problém, že nemožno vytvoriť kópiu kvantového bitu (no-cloning theorem).

### 7.3. Podmienená operácia $C^mU$ a jej prípad $CX$

V 2 bitovom kvantovom systéme  $m = 1$ , preto  $C^mU = C^1U = CU$ .

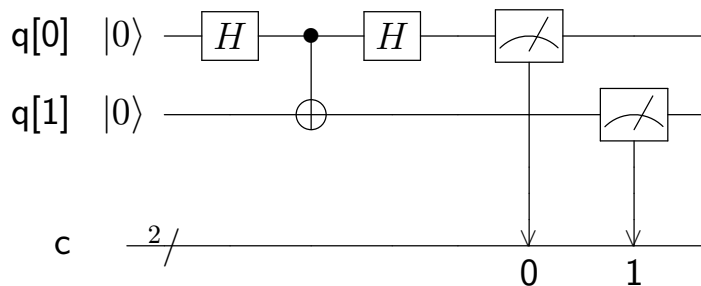
Podmienená operácia previazania zdrojového bitu  $q[0]$  a operácie  $CU$  cieľového bitu  $q[1]$  je definovaná maticou rozmerov  $2^{(m+1)} \times 2^{(m+1)} = 2 \times 2$  a je v tvare:

$$CU = \begin{pmatrix} I & \Theta \\ \Theta & U \end{pmatrix}$$

Ak  $U = X$  potom  $CU = CX$  v tvare

$$CX = \begin{pmatrix} I & \Theta \\ \Theta & X \end{pmatrix} = \begin{pmatrix} 1 & 0 & 0 & 0 \\ 0 & 1 & 0 & 0 \\ 0 & 0 & 0 & 1 \\ 0 & 0 & 1 & 0 \end{pmatrix}$$

$CX$  je teda operácia podmieneného preklopenia stavu  $|\psi_1\rangle$  do stavu  $X|\psi_1\rangle$  s pravdepodobnosťou  $|\beta_0|^2$ .

7.4. Dvojica EPR:  $\frac{1}{\sqrt{2}} |00\rangle + \frac{1}{\sqrt{2}} |11\rangle$ 

$ \psi^0\rangle$	$ \psi^1\rangle$	$ \psi^2\rangle$	$ \psi^3\rangle$	$c_0$	$c_1$
$\begin{pmatrix} 1 \\ 0 \\ 0 \\ 0 \end{pmatrix}$	$\begin{pmatrix} \frac{1}{\sqrt{2}} \\ \frac{1}{\sqrt{2}} \\ 0 \\ 0 \end{pmatrix}$	$\begin{pmatrix} \frac{1}{\sqrt{2}} \\ 0 \\ 0 \\ \frac{1}{\sqrt{2}} \end{pmatrix}$	$\begin{pmatrix} \frac{1}{2} \\ \frac{1}{2} \\ \frac{1}{2} \\ -\frac{1}{2} \end{pmatrix}$	0	0
				0	1
				1	0
				1	1

kde

$$|\psi^0\rangle = |0\rangle \otimes |0\rangle$$

$$|\psi^1\rangle = (H |0\rangle) \otimes |0\rangle$$

$$|\psi^2\rangle = CX |\psi^1\rangle$$

$$|\psi^3\rangle = (H \otimes I) |\psi^2\rangle$$

## 8. Záver

1. Vlastnosti kvantového stroja a spôsob spracovania informácií
2. Kvantový stroj z hľadiska Computer Science
3. Súčasný stav a požiadavky

- [1] Scott Aaronson and Andris Ambainis. Quantum search of spatial regions. In *44th Annual IEEE Symposium on Foundations of Computer Science, 2003. Proceedings.*, pages 200–209. IEEE, 2003.
- [2] Scott Aaronson and Yaoyun Shi. Quantum lower bounds for the collision and the element distinctness problems. *Journal of the ACM (JACM)*, 51(4):595–605, 2004.
- [3] Dorit Aharonov and Michael Ben-Or. Fault-tolerant quantum computation with constant error rate. *arXiv preprint quant-ph/9906129*, 1999.
- [4] Andris Ambainis. Communication complexity in a 3-computer model. *Algorithmica*, 16(3):298–301, 1996.
- [5] Andris Ambainis. Quantum lower bounds by quantum arguments. *Journal of Computer and System Sciences*, 64(4):750–767, 2002.
- [6] Andris Ambainis. Polynomial degree vs. quantum query complexity. *Journal of Computer and System Sciences*, 72(2):220–238, 2006.
- [7] Andris Ambainis. Quantum walk algorithm for element distinctness. *SIAM Journal on Computing*, 37(1):210–239, 2007.
- [8] PK Aravind. A simple demonstration of bell’s theorem involving two observers and no probabilities or inequalities. *arXiv preprint quant-ph/0206070*, 2002.
- [9] Alain Aspect, Philippe Grangier, and Gérard Roger. Experimental tests of realistic local theories via bell’s theorem. *Physical review letters*, 47(7):460, 1981.

- [10] László Babai. Graph isomorphism in quasipolynomial time. In *Proceedings of the forty-eighth annual ACM symposium on Theory of Computing*, pages 684–697. ACM, 2016.
- [11] László Babai and Eugene M Luks. Canonical labeling of graphs. In *Proceedings of the fifteenth annual ACM symposium on Theory of computing*, pages 171–183. ACM, 1983.
- [12] Ziv Bar-Yossef, Thathachar S Jayram, and Iordanis Kerenidis. Exponential separation of quantum and classical one-way communication complexity. In *Proceedings of the thirty-sixth annual ACM symposium on Theory of computing*, pages 128–137. ACM, 2004.
- [13] Robert Beals. Quantum computation of fourier transforms over symmetric groups. In *Proceedings of the twenty-ninth annual ACM symposium on Theory of computing*, pages 48–53. Citeseer, 1997.
- [14] Robert Beals, Harry Buhrman, Richard Cleve, Michele Mosca, and Ronald De Wolf. Quantum lower bounds by polynomials. *Journal of the ACM (JACM)*, 48(4):778–797, 2001.
- [15] John S Bell. On the einstein podolsky rosen paradox. *Physics Physique Fizika*, 1(3):195, 1964.
- [16] Aleksandrs Belovs. Span programs for functions with constant-sized 1-certificates. In *Proceedings of the forty-fourth annual ACM symposium on Theory of computing*, pages 77–84. ACM, 2012.
- [17] Paul Benioff. Quantum mechanical hamiltonian models of turing machines. *Journal of Statistical Physics*, 29(3):515–546, 1982.
- [18] Charles H Bennett and Gilles Brassard. Quantum cryptography: public key distribution and coin tossing. *Theor. Comput. Sci.*, 560(12):7–11, 2014.



- [19] Charles H Bennett, Gilles Brassard, Claude Crépeau, Richard Jozsa, Asher Peres, and William K Wootters. Teleporting an unknown quantum state via dual classical and einstein-podolsky-rosen channels. *Physical review letters*, 70(13):1895, 1993.
- [20] Charles H Bennett and Stephen J Wiesner. Communication via one-and two-particle operators on einstein-podolsky-rosen states. *Physical review letters*, 69(20):2881, 1992.
- [21] Ethan Bernstein and Umesh Vazirani. Quantum complexity theory. *SIAM Journal on computing*, 26(5):1411–1473, 1997.
- [22] Jean-François Biasse and Fang Song. Efficient quantum algorithms for computing class groups and solving the principal ideal problem in arbitrary degree number fields. In *Proceedings of the twenty-seventh annual ACM-SIAM symposium on Discrete algorithms*, pages 893–902. Society for Industrial and Applied Mathematics, 2016.
- [23] P Van Emde Boas. Machine models and simulations. *Handbook of Theoretical Computer Science, volume A*, pages 1–66, 2014.
- [24] Michel Boyer, Gilles Brassard, Peter Høyer, and Alain Tapp. Tight bounds on quantum searching. *Fortschritte der Physik: Progress of Physics*, 46(4-5):493–505, 1998.
- [25] Gilles Brassard, Richard Cleve, and Alain Tapp. Cost of exactly simulating quantum entanglement with classical communication. *Physical Review Letters*, 83(9):1874, 1999.
- [26] Gilles Brassard, Peter Hoyer, and Alain Tapp. Quantum algorithm for the collision problem. *arXiv preprint quant-ph/9705002*, 1997.

- [27] Harry Buhrman, Richard Cleve, Serge Massar, and Ronald De Wolf. Nonlocality and communication complexity. *Reviews of modern physics*, 82(1):665, 2010.
- [28] Harry Buhrman, Richard Cleve, John Watrous, and Ronald De Wolf. Quantum fingerprinting. *Physical Review Letters*, 87(16):167902, 2001.
- [29] Harry Buhrman, Richard Cleve, and Avi Wigderson. Quantum vs. classical communication and computation. *arXiv preprint quant-ph/9802040*, 1998.
- [30] Harry Buhrman and Robert Špalek. Quantum verification of matrix products. In *Proceedings of the seventeenth annual ACM-SIAM symposium on Discrete algorithm*, pages 880–889. Society for Industrial and Applied Mathematics, 2006.
- [31] Mark Bun and Justin Thaler. Dual lower bounds for approximate degree and markov–bernstein inequalities. *Information and Computation*, 243:2–25, 2015.
- [32] Andrew M Childs. Lecture notes on quantum algorithms. *Lecture notes at University of Maryland*, 2017.
- [33] Boris S Cirel'son. Quantum generalizations of bell's inequality. *Letters in Mathematical Physics*, 4(2):93–100, 1980.
- [34] John F Clauser, Michael A Horne, Abner Shimony, and Richard A Holt. Proposed experiment to test local hidden-variable theories. *Physical review letters*, 23(15):880, 1969.
- [35] Richard Cleve. The query complexity of order-finding. In *Proceedings 15th Annual IEEE Conference on Computational Complexity*, pages 54–59. IEEE, 2000.
- [36] Richard Cleve and Harry Buhrman. Substituting quantum entanglement for communication. *Physical Review A*, 56(2):1201, 1997.

- [37] Richard Cleve, Artur Ekert, Chiara Macchiavello, and Michele Mosca. Quantum algorithms revisited. *Proceedings of the Royal Society of London. Series A: Mathematical, Physical and Engineering Sciences*, 454(1969):339–354, 1998.
- [38] Richard Cleve, Wim Van Dam, Michael Nielsen, and Alain Tapp. Quantum entanglement and the communication complexity of the inner product function. In *Quantum Computing and Quantum Communications*, pages 61–74. Springer, 1999.
- [39] Ronald de Wolf. *Quantum Computing and Communication Complexity*. PhD thesis, 2001.
- [40] D Deutsch. Rapid solution of problems by quantum computation. *Proceedings of the Royal Society A*, 435:563–574, 1991.
- [41] David Deutsch. Quantum theory, the church–turing principle and the universal quantum computer. *Proceedings of the Royal Society of London. A. Mathematical and Physical Sciences*, 400(1818):97–117, 1985.
- [42] David Elieser Deutsch. Quantum computational networks. *Proceedings of the Royal Society of London. A. Mathematical and Physical Sciences*, 425(1868):73–90, 1989.
- [43] Andrew Drucker and Ronald de Wolf. Quantum proofs for classical theorems. *arXiv preprint arXiv:0910.3376*, 2009.
- [44] Christoph Durr and Peter Høyer. A quantum algorithm for finding the minimum. *arXiv preprint quant-ph/9607014*, 1996.
- [45] Albert Einstein, Boris Podolsky, and Nathan Rosen. Can quantum-mechanical description of physical reality be considered complete? *Physical review*, 47(10):777, 1935.

- [46] Mark Ettinger, Peter Høyer, and Emanuel Knill. The quantum query complexity of the hidden subgroup problem is polynomial. *Information Processing Letters*, 91(1):43–48, 2004.
- [47] Lance Fortnow and John Rogers. Complexity limitations on quantum computation. *Journal of Computer and System Sciences*, 59(2):240–252, 1999.
- [48] Peter Frankl and Vojtěch Rödl. Forbidden intersections. *Transactions of the American Mathematical Society*, 300(1):259–286, 1987.
- [49] Rusins Freivalds. Probabilistic machines can use less running time. In *IFIP congress*, volume 839, page 842, 1977.
- [50] Martin Fürer. Faster integer multiplication. *SIAM Journal on Computing*, 39(3):979–1005, 2009.
- [51] Daniel Gottesman. An introduction to quantum error correction and fault-tolerant quantum computation. In *Quantum information science and its contributions to mathematics, Proceedings of Symposia in Applied Mathematics*, volume 68, pages 13–58, 2010.
- [52] Michelangelo Grigni, Leonard J Schulman, Monica Vazirani, and Vazirani S. Quantum mechanical algorithms for the nonabelian hidden subgroup problem.
- [53] Lov K Grover. A fast quantum mechanical algorithm for database search. *arXiv preprint quant-ph/9605043*, 1996.
- [54] Lisa Hales and Sean Hallgren. An improved quantum fourier transform algorithm and applications. In *Proceedings 41st Annual Symposium on Foundations of Computer Science*, pages 515–525. IEEE, 2000.
- [55] Sean Hallgren. Polynomial-time quantum algorithms for pell’s equation and the principal ideal problem. *Journal of the ACM (JACM)*, 54(1):4, 2007.

- [56] Sean Hallgren, Alexander Russell, and Amon Ta-Shma. The hidden subgroup problem and quantum computation using group representations. *SIAM Journal on Computin*, 32(4):916–934, 2003. Earlier version in STOC'00.
- [57] G. H. Hardy and E. M. Wriht. *An Introduction to the Theory of Numbers*. Oxford University Press, New York, fifth edition, 1979.
- [58] B. Hensen, H. Bernien, A. E. Dréau, A. Reiserer, N. Kalb, M. S. Blok, J. Ruitenberg, R. F. L. Vermeulen, R. N. Schouten, C. Abellán, W. Amaya, V. Pruneri, M. W. Mitchell, M. Markham, D. J. Twitchen, D. Elkouss, S. Wehner, T. H. Taminiau, and R. Hanson. Experimental loophole-free violation of a bell inequality using entangled electron spins separated by 1.3 km. *Nature*, 526, 29 October 2015.
- [59] A. S. Holevo. Bounds for the quantity of information transmitted by a quantum communication channel. *Problemy Peredachi Informatsii*, 9(3):3–11, 1973. English translation in *Problems of Information Transmission*, 9:177-183, 1973.
- [60] Peter Høyer, Troy Lee, and Robert Špalek. Negative weights make adversaries stronger. In *Proceedings of 39th ACM STOC*, pages 526–535, 2007.
- [61] Peter Høyer and Robert Špalek. Lower bounds on quantum query complexity. *Bulletin of the EATCS*, 87:78–108, October 2005.
- [62] Gábor Ivanyos, Luc Sanselme, and Miklos Santha. An efficient quantum algorithm for the hidden subgroup problem in nil-2 groups. *Algorithmica*, 62(1–2):480–492, 2012.
- [63] Stacey Jeffery, Robin Kothari, and Frederic Magniez. Nested quantum walks with quantum data structures. In *Proceedings of 24th ACM-SIAM SODA*, pages 1474–1485, 2013.

- [64] Jonathan Katz and Luca Trevisan. On the efficiency of local decoding procedures for error-correcting codes. In *Proceedings of 32nd ACM STOC*, pages 80–86, 2000.
- [65] Iordanis Kerenidis and Ronald de Wolf. Exponential lower bound for 2-query locally decodable codes via a quantum argument. *Journal of Computer and System Sciences*, 69(3):395–420, 2004. Earlier version in STOC'03.
- [66] A. Yu. Kitaev. Quantum measurements and the abelian stabilizer problem, 12 November 1995.
- [67] Boaz Klartag and Oded Regev. Quantum one-way communication is exponentially stronger than classical communication. *Proceedings of 43rd ACM STOC*, 2011.
- [68] Emanuel Knill, Raymond Laflamme, and Wojciech Zurek. Threshold accuracy for quantum computation, 15 October 1996.
- [69] Donald E. Knuth. *The Art of Computer Programming. Volume 2: Seminumerical Algorithms*. Addison-Wesley, third edition, 1997.
- [70] Francois Le Gall. Improved quantum algorithm for triangle finding via combinatorial arguments. In *Proceedings of 55th IEEE FOCS*, pages 216–225, 2014.
- [71] Troy Lee, Frederic Magniez, and Miklos Santha. Improved quantum query algorithms for triangle finding and associativity testing. *Algorithmica*, 77(2):459–486, 2017.
- [72] Arjen K. Lenstra and Hendrik W. Jr. Lenstra. *The Development of the Number Field Sieve*, volume 1554 of *Lecture Notes in Mathematics*. Springer, 1993.
- [73] Hendrik W. Jr. Lenstra and Carl Pomerance. A rigorous time bound for factoring integers. *Journal of the American Mathematical Society*, 5:483–516, 1992.

- [74] Hoi-Kwong Lo and H. F. Chau. Unconditional security of quantum key distribution over arbitrarily long distances, 3 March 1998.
- [75] Frederic Magniez, Miklos Santha, and Mario Szegedy. Quantum algorithms for the triangle problem. In *Proceedings of 16th ACM-SIAM SODA*, pages 1109–1117, 2005.
- [76] Yuri Manin. *Vychislimoe i nevychislimoe (computable and noncomputable)*. Soviet Radio, 1980. In Russian.
- [77] Yuri Manin. Classical computing, quantum computing, and shor's factoring algorithm, 2 March 1999.
- [78] Dominic Mayers. Unconditional security in quantum cryptography, 10 February 1998.
- [79] Cristopher Moore, Daniel Rockmore, and Alexander Russell. Generic quantum fourier transforms. *ACM Transactions on Algorithms*, 2(4):707–723, 2006.
- [80] Cristopher Moore, Alexander Russell, and Leonard J. Schulman. The symmetric group defies strong fourier sampling. *SIAM Journal on Computing*, 37(6):1842–1864, 2008. Earlier version in FOCS'05.
- [81] Michele Mosca and Artur Ekert. The hidden subgroup problem and eigenvalue estimation on a quantum computer. In *Proceedings of 1st NASA QCQC conference*, volume 1509 of *Lecture Notes in Computer Science*, pages 174–188. Springer, 1998.
- [82] Ashwin Nayak. Optimal lower bounds for quantum automata and random access codes. In *Proceedings of 40th IEEE FOCS*, pages 369–376, 1999.
- [83] Ilan Newman. Private vs. common random bits in communication complexity. *Information Processing Letters*, 39(2):67–71, 1991.

- [84] Ilan Newman and Mario Szegedy. Public vs. private coin flips in one round communication games. In *Proceedings of 28th ACM STOC*, volume 39, pages 561–570, 1996.
- [85] Christos H. Papadimitriou. *Computational Complexity*. Addison-Wesley, 1994.
- [86] Alexander Razborov. Quantum communication complexity of symmetric predicates. *Izvestiya of the Russian Academy of Sciences, mathematics*, 67(1):159–176, 2003.
- [87] Ben Reichardt. Span programs and quantum query complexity: The general adversary bound is nearly tight for every boolean function. In *Proceedings of 50th IEEE FOCS*, pages 544–551, 2009.
- [88] R. Rivest, A. Shamir, and L. Adleman. A method for obtaining digital signatures and public key cryptosystems. *Communications of the ACM*, 21:120–126, 1978.
- [89] R. L. Rivest. *Cryptography*, pages 717–755. In [100], 1990.
- [90] Miklos Santha. Quantum walk based search algorithms. In *Proceedings of 5th TAMC*, pages 31–46, 2008.
- [91] A. Schönhage and V. Strassen. Schnelle multiplikation grosser zahlen. *Computing*, 7:281–292, 1971.
- [92] Uwe Schöningh. A probabilistic algorithm for k-sat and constraint satisfaction problems. In *proceedings of 40th IEEE FOCS*, pages 410–414, 1999.
- [93] Alexander Sherstov. Approximating the and-or tree. *Theory of Computing*, 9(20):653–663, 2013.
- [94] Peter Shor. Scheme for reducing decoherence in quantum memory. *Physical Review A*, 52:2493, 1995.



- [95] Peter Shor. Polynomial-time algorithms for prime factorization and discrete logarithms on a quantum computer. *SIAM Journal on Computing*, 26(5):1484–1509, 1997. Earlier version in FOCS'94.
- [96] Daniel Simon. On the power of quantum computation. *SIAM Journal on Computing*, 26(5):1474–1483, 1997. Earlier version in FOCS'94.
- [97] Barbara M. Terhal. Quantum error correction for quantum memories. *Reviews of Modern Physics*, 87:307, 2015.
- [98] Luca Trevisan. Some applications of coding theory in computational complexity. *Quaderni di Matematica*, 13:347–424, 2004.
- [99] Wim Van Dam. Quantum oracle interrogation: Getting all information for almost half the price. In *Proceedings 39th Annual Symposium on Foundations of Computer Science (Cat. No. 98CB36280)*, pages 362–367. IEEE, 1998.
- [100] Jan van Leeuwen. *Handbook of Theoretical Computer Science. Volume A: Algorithms and Complexity*. MIT Press, Cambridge, MA, 1990.
- [101] Lieven Vandersypen, Matthias Steffen, Gregory Breyta, Constantino Yannoni, Richard Cleve, and Isaac Chuang. Experimental realization of an order-finding algorithm with an nmr quantum computer. *Physical Review Letters*, 85(25):5452–545, 2000.
- [102] John Watrous. Quantum algorithms for solvable groups. In *Proceedings of 33rd ACM STOC*, pages 60–67, 2001.
- [103] John Watrous. Quantum computational complexity. In *Encyclopedia of Complexity and System Science*. Springer, 2009.
- [104] W. K. Wootters and W. H. Zurek. A single quantum cannot be copied. *Nature*, 299:802–803, 1982.

- [105] Andrew Chi-Chih Yao. Some complexity questions related to distributive computing. In *Proceedings of 11th ACM STOC*, pages 209–213, 1979.
- [106] Andrew Chi-Chih Yao. Quantum circuit complexity. In *Proceedings of 34th IEEE FOCS*, pages 352–360, 1993.